

## Facharbeit 2024

zum Thema:

Dezentralisierte asymmetrische Verschlüsselung  
über Tor – Die Lösung für sicheres Messaging?

Seminarfach: Informatik – SF25\_2

Verfasser/in: Hendrik Lind

Fachlehrer/in: Marco Geertsema

Abgabetermin: 22.02.2024

# Inhaltsverzeichnis

<b>1</b>	<b>Einleitung</b>	<b>1</b>
1.1	Motivation . . . . .	2
1.2	Relevanz . . . . .	2
1.3	Methodisches Vorgehen . . . . .	3
<b>2</b>	<b>Asymmetrische Verschlüsselung</b>	<b>3</b>
2.1	Grundlagen . . . . .	3
2.2	Mathematische Betrachtung . . . . .	4
2.2.1	Eulersche Phi-Funktion . . . . .	4
2.2.2	Generierung des Schlüsselpaares . . . . .	4
2.3	Sicherheit . . . . .	5
2.4	Vergleich zur symmetrischen Verschlüsselung . . . . .	6
<b>3</b>	<b>Das Tor-Netzwerk</b>	<b>6</b>
3.1	Onion Services . . . . .	8
3.1.1	Verbindungsaufbau . . . . .	9
3.2	Sicherheit . . . . .	10
<b>4</b>	<b>Dezentralisierung</b>	<b>10</b>
4.1	Sicherheit . . . . .	11
<b>5</b>	<b>Umsetzung des Messengers</b>	<b>11</b>
5.1	Peer-to-Peer-Verbindung . . . . .	12
5.2	Tor-Netzwerk . . . . .	15
5.3	Sicherheit . . . . .	17
5.4	Ende-zu-Ende-Verschlüsselung . . . . .	18
5.4.1	Verifizierung der Identität . . . . .	18
5.5	Nachrichten versenden . . . . .	22
<b>6</b>	<b>Nachteile und Lösungsmöglichkeiten</b>	<b>23</b>
<b>7</b>	<b>Fazit</b>	<b>24</b>

# 1 Einleitung

Russland, China, Iran. In diesen totalitären Staaten herrscht eine starke Zensur [vgl. Am23]. Allein in diesen drei Ländern sind rund 1,7 Milliarden Menschen von der Einschränkung der Meinungsfreiheit betroffen. Wie können Bürger aus solchen Staaten  
5 ihre Meinung verbreiten und auf staatskritische Probleme aufmerksam machen, ohne sich selbst in Gefahr zu bringen?

Bei herkömmlichen Messengern wie WhatsApp, Signal und Co. wird zur bi- oder multilateralen Kommunikation die Telefonnummern benötigt, um untereinander in Kontakt treten zu können. Eine mögliche Gefahr besteht darin, dass sich ein totalitärer Staat als legitimer Empfänger ausgibt, wodurch Bürger und z.B. staatskritische Journalisten ihre privaten Telefonnummern an den Staat weitergeben, der dann wiederum in der Lage ist, diese Nummern zurückzuverfolgen [vgl. Fä23]. Genau hier  
10 liegt das Problem: Oppositionelle Bürger und Reporter können nicht über gewöhnliche Messenger mit der Außenwelt kommunizieren, da der Staat ihre Nummern zurückverfolgen kann, und sie mit einer weiteren Einschränkung ihrer Meinungsfreiheit oder sogar mit ihrer Verhaftung rechnen müssen [vgl. Am23].

Die zentrale Infrastruktur der meisten Messengern wie WhatsApp und Signal ermöglicht es außerdem totalitären Staaten wie China, die IP-Adressen von Servern zu blockieren und sie so für Bürger und Journalisten unzugänglich zu machen [vgl. Wu+23; Bh23]. Vor diesem Hintergrund könnte ein dezentraler, Ende-zu-Ende-verschlüsselter Messenger, der über das Tor-Netzwerk kommuniziert, eine Lösung für diese Probleme darstellen. Ziel dieser Arbeit ist es, diese Lösung auf ihre Sicherheit und Praktikabilität hin zu untersuchen und zu implementieren.

Um ein Verständnis für die Sicherheit dieses Messengers zu erlangen, geht diese Arbeit im zweiten Kapitel auf die asymmetrische Verschlüsselung und die Ende-zu-Ende-Verschlüsselung (E2EE) ein. Hierzu werden die mathematischen Zusammenhänge näher betrachtet, um im Anschluss die Sicherheit des Verfahrens beurteilen zu können. Dabei wird auf die Erklärung des Padding-Verfahrens der asymmetrischen Verschlüsselung verzichtet, da eine Erläuterung den Rahmen dieser Facharbeit  
25 überschreiten würde. Im dritten Kapitel wird untersucht, ob das Tor-Netzwerk eine mögliche Lösung für das Problem der Anonymität im Internet darstellt und inwieweit es die Nutzer schützt. Aufbauend auf das vierte Kapitel, in dem mit der Definition  
30

und der Sicherheit von Dezentralisierung die Grundlagen gelegt werden, wird im darauffolgenden fünften Kapitel die Implementierung des Messengers beschrieben, woraufhin im sechsten Kapitel auf die Nachteile des Messengers und deren Lösungsmöglichkeiten eingegangen wird. Die Arbeit endet mit dem siebten Kapitel, in welchem ein kurzes Fazit der erarbeiteten Ergebnisse gezogen wird.

## 1.1 Motivation

Mein Interesse an Themenkomplex erstreckt sich über mehrere Ebenen. Neben der asymmetrischen Verschlüsselung und der dahinterliegenden Mathematik, ist die Programmierung selbst und die Implementierung eines sicheren Messengers im Tor-Netzwerk eine meiner Hauptmotivationen mich mit diesem umfangreichen Thema zu beschäftigen.

Ich verfolge das Tor-Netzwerk und seine Struktur schon seit ein paar Jahren mit großem Interesse. Das Tor-Netzwerk wird oft mit dem Begriff des Darknets in Verbindung gebracht, was bei den meisten Menschen zu negative Assoziationen führt [vgl. Bu24]. Die schwierige Rückverfolgung spielt eine große Rolle in der Anonymität des Tor-Netzwerkes und ist ein weiterer Aspekt, der mich an diesem Thema fasziniert [vgl. ebd.]. Zusätzlich steht der mathematische Hintergrund der asymmetrischen Verschlüsselung für mich mitunter im Vordergrund meines Interesses: „Wie schafft es der Angreifer, eine verschlüsselte Nachricht nur mit dem öffentlichen Schlüssel nicht zu entschlüsseln?“. Die vielen Facetten des Tor-Netzwerks mit der Ende-zu-Ende-Verschlüsselung und der Dezentralisierung zu verbinden, sodass am Ende ein funktionierender Messenger entsteht, ist eine weitere Herausforderung, für die ich mich begeistern kann.

## 1.2 Relevanz

In totalitären Staaten wie dem Iran ist die Pressefreiheit und Meinungsfreiheit massiv eingeschränkt [vgl. Am23]. Dadurch können Bürger und Journalisten ihre Meinung nicht öffentlich äußern, ohne mit Konsequenzen rechnen zu müssen. China betreibt zusätzlich eine ausgefeilte Analyse und Überwachung des Netzes, wodurch die eine Anonymität und Sicherheit von Messengern umso wichtiger ist [vgl. Ho16]. Mit solch einem Messenger könnten oppositionelle Meinungen und Ansichten das autoritär geführte Land verlassen und in der Außenwelt Gehör finden. Und auch hier stellt

sich wieder die Frage: „Schützt ein solcher Messenger Bürger und Journalisten in  
65 einem totalitären Staat vor möglichen Konsequenzen?“.

### 1.3 Methodisches Vorgehen

Zunächst werde ich die Grundlagen der asymmetrischen Verschlüsselung, des Tor-  
Netzwerks und der Dezentralisierung erläutern, um dann jeweils die Sicherheit des  
Verfahrens zu überprüfen. Woraufhin ich den theoretischen Hintergrund in die Praxis  
70 umsetze, also einen Messenger programmiere, auf dessen Nachteile und mögliche  
Lösungsmöglichkeiten hinweise, und abschließend ein Fazit ziehe.

## 2 Asymmetrische Verschlüsselung

Um einen sicheren Nachrichtenaustausch zu gewährleisten, wird in dieser Arbeit  
E2EE implementiert. Bei E2EE wird die Nachricht vom Sender verschlüsselt, bevor  
75 sie an den Empfänger gesendet wird [vgl. Gr14]. Zwischengeschaltete Akteure wie  
Server oder mögliche Angreifer können die Nachricht somit nicht lesen [vgl. ebd.].  
**Nur** der Empfänger oder Sender der Nachricht kann diese entschlüsseln [vgl. LB21].  
Als Verfahren zur Ver- und Entschlüsselung der Nachrichten wird (unter anderem)  
die asymmetrische Verschlüsselung verwendet [vgl. ebd.]. Diese Arbeit beschränkt  
80 sich bei der asymmetrischen Verschlüsselung auf das RSA-Verfahren.

### 2.1 Grundlagen

Grundsätzlich wird bei der asymmetrischen Verschlüsselung ein Schlüsselpaar (key  
pair) verwendet, das aus einem privaten Schlüssel (private key) und einem öffentli-  
chen Schlüssel (public key) besteht [vgl. BSW15a]. Diese beiden Schlüssel sind ma-  
85 thematisch so miteinander verknüpft, dass der öffentliche Schlüssel Nachrichten **nur**  
verschlüsseln, aber nicht entschlüsseln kann [vgl. ebd.]. **Nur** der zum Schlüsselpaar  
gehörende private Schlüssel kann die verschlüsselte Nachricht wieder entschlüsseln  
(siehe Abb. 1) [vgl. ebd.].

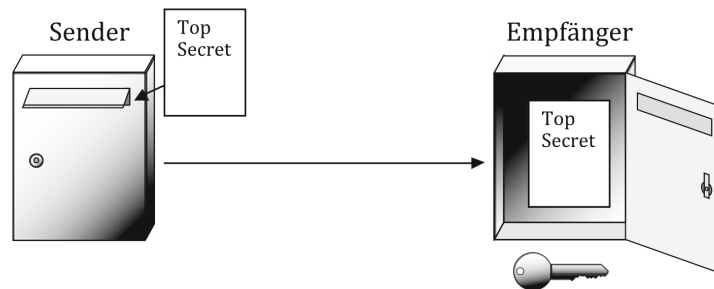


Abbildung 1: Jeder Sender kann mit dem öffentlichen Schlüssel die Nachricht „verschlüsseln“ (also eine Nachricht in den Briefkasten werfen), aber nur der Empfänger kann den Briefkasten mit seinem privaten Schlüssel öffnen und somit die Nachricht herausnehmen [vgl. BSW15b]

## 2.2 Mathematische Betrachtung

90 Alle Variablen der folgenden Berechnungen liegen im Bereich  $\mathbb{N}$  [vgl. Is16]. Zur Erzeugung des Schlüsselpaars werden zwei große zufällige Primzahlen, genannt  $P$  und  $Q$ , benötigt [vgl. ebd.]. Daraus ergibt sich  $n = P \cdot Q$ , wobei  $P \neq Q$  ist, sodass  $P$  und  $Q$  nicht durch  $\sqrt{n}$  bestimmt werden können [vgl. ebd.]. Der private Schlüssel setzt sich hierbei aus den Komponenten  $\{n, d\}$  zusammen, während der öffentliche

95 Schlüssel aus  $\{n, e\}$  besteht [vgl. Wa+13].

### 2.2.1 Eulersche Phi-Funktion

Die eulersche Phi-Funktion spielt eine wichtige Rolle im RSA-Verfahren [vgl. Tu08].  $\phi(x)$  gibt an, wie viele positive teilerfremde Zahlen es bis  $x$  gibt (für wie viele Zahlen der größte gemeinsame Teiler (gcd) mit  $x$  1 ist) [vgl. Ta13]. So ergibt sich  $\phi(6) = 2$

100 oder im Falle einer Primzahl  $\phi(7) = 7 - 1 = 6$ , also  $\phi(x) = x - 1$ , wenn  $x$  eine Primzahl ist, da jede Zahl kleiner als  $x$  teilerfremd sein muss [vgl. Tu08]. Somit gilt:

$$\phi(n) = \phi(P \cdot Q)$$

$$\phi(n) = \phi(P) \cdot \phi(Q)$$

$$\phi(P) = P - 1 \qquad \phi(Q) = Q - 1$$

$$\phi(n) = (P - 1) \cdot (Q - 1)$$

### 2.2.2 Generierung des Schlüsselpaars

Wie bereits erwähnt, besteht sowohl der private als auch der öffentliche Schlüssel unter anderem aus der Komponente  $n$ :  $n = P \cdot Q$  [vgl. Ta96]. Um mit dem öffentli-

105 chen Schlüssel eine Verschlüsselung durchführen zu können wir die Komponente  $e$  benötigt [vgl. ebd.].  $e$  ist eine Zufallszahl, für welche folgende Bedingungen erfüllt sein müssen [vgl. ebd.]:

$$e = \begin{cases} 1 < e < \phi(n) \\ \gcd(e, \phi(n)) = 1 \\ e \text{ kein Teiler von } \phi(n) \end{cases}$$

Nachdem die Komponente  $e$  gefunden wurde, ist der öffentliche Schlüssel nun vollständig und kann an den Absender übermittelt (bzw. veröffentlicht) werden. Zur  
110 Entschlüsselung einer Nachricht ist die Komponente  $d$ , welche im privaten Schlüssel enthalten ist, erforderlich [vgl. Ta96]:

$$\begin{aligned} \phi(n) &= (P - 1)(Q - 1) \\ d &= e^{-1} \mod \phi(n) \end{aligned}$$

Sowohl der private als auch der öffentliche Schlüssel wurden nun berechnet, bilden also das Schlüsselpaar, und können nun zur Ver- und Entschlüsselung von Nachrichten verwendet werden.

## 115 2.3 Sicherheit

Um die Sicherheit des RSA-Verfahrens bewerten zu können, müssen wir zunächst den Ver-/Entschlüsselungsprozess betrachten.

$$\begin{aligned} c &= m^e \mod n && \text{Verschlüsselung zu } c \text{ mit } m \text{ als Nachricht} \\ m &= c^d \mod n && \text{Umkehroperation (Entschlüsselung) von } c \text{ zu } m \end{aligned}$$

Damit die verschlüsselte Nachricht  $c$  wieder entschlüsselt werden kann, bräuchte ein Angreifer die Komponente  $d$ . Dadurch, dass  $d$  nur im privaten Schlüssel ent-  
120 halten ist, müsste der Angreifer also selbst  $d$  berechnen, welches allerdings sehr rechenintensiv ist, da diese durch  $\phi(n)$  berechnet werden müsste. Somit ist eine Primfaktorzerlegung von  $n$  nötig [vgl. Ta13]. Die Verschlüsselung von  $m$  nach  $c$  ist eine Trapdoor-Einwegfunktion [vgl. Kr16a]. Das bedeutet, dass es zwar einfach ist,  $f(x)$  zu berechnen (im Falle der RSA Verschlüsselung), jedoch unmöglich ist, von

125  $f(x)$  auf den ursprünglichen Wert  $x$  zu schließen, ohne eine weitere notwendige Komponente zu kennen (bei dem RSA-Verfahren wäre dies die Komponente  $d$ ) [vgl. ebd.].

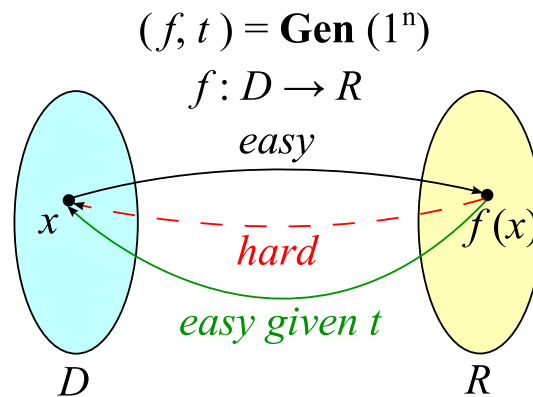


Abbildung 2: Eine Visualisierung der Trapdoor-Einwegfunktion [vgl. Kr16b]

Die ausschlaggebende Größe ist hierbei die Bitlänge des Produktes  $n$ . Wird die Bitlänge von  $n$  erhöht, steigt der Zeitaufwand, welcher für die Primfaktorzerlegung von  $n$  benötigt wird, an. Somit empfiehlt das BSI eine Schlüssellänge (Länge von  $n$ ) von mindestens 3000 Bit, um in naher Zukunft vor Angriffen geschützt zu sein [vgl. Bu23a].

## 2.4 Vergleich zur symmetrischen Verschlüsselung

Der wesentliche Unterschied zur asymmetrischen Verschlüsselung besteht darin, dass bei symmetrischen Verschlüsselung derselbe Schlüssel zum Ver- und Entschlüsseln verwendet wird [vgl. IB21]. Im Vergleich zur asymmetrischen Verschlüsselung ist die symmetrische Verschlüsselung schneller und hat keine Beschränkung der Chiffretextlänge [vgl. HK20; Op24]. Allerdings muss der Schlüssel der symmetrischen Verschlüsselung dem anderen Kommunikationspartner sicher übermittelt werden, um die Nachrichten entschlüsseln zu können [vgl. ebd.]. Die symmetrische Verschlüsselung eignet sich daher für die Verschlüsselung von Benutzerdaten des Messengers (wie z.B. Chatverläufe) mit einem benutzerdefinierten Passwort.

## 3 Das Tor-Netzwerk

Ein weiterer zentraler Aspekt dieser Arbeit ist die Anonymität der Nutzer, wobei das Tor-Netzwerk eine mögliche Lösung bietet. Das normale Routing, wie wir es täglich



nutzen, eignet sich für eine hohe Anonymität nicht, da Clients direkt mit den Zielservern kommunizieren. Dabei kann der Zielserver die IP-Adresse der Clients einsehen, wodurch eine Rückverfolgung der IP-Adresse möglich ist [vgl. El16; Fä23]. Genau an diesem Punkt setzt das Tor-Netzwerk an. Um das Problem der Rückverfolgung zu lösen, besteht das Tor-Netzwerk aus vielen „Nodes“ (Server des Tor-Netzwerkes),  
150 welche eingehende Tor-Verbindungen annehmen und weiterverarbeiten [vgl. K 23]. Damit ein Client eine Anfrage über das Tor-Netzwerk senden kann, sucht er sich zunächst einen Weg durch das Netzwerk, genannt „Circuit“. Durch diesen *Circuit* kann die Anfrage des Clients geschickt werden kann [vgl. To24d]. Der *Circuit*, welcher  
155 für zehn Minuten gültig ist, besteht in der Regel aus drei *Nodes* [vgl. ebd.]. Nachdem der *Circuit* ausgelaufen ist, wird dieser durch den Client erneuert [vgl. To24c]. Die drei *Nodes* werden hier in drei Kategorien unterteilt: Die *Entry Node*, mit der sich der Client verbindet, die *Relay Node*, welche zwischen *Entry Node* und *Exit Node* liegt, und die *Exit Node*, welche sich mit dem Zielserver verbindet [vgl. K 23].  
160 Der Client verschlüsselt die eigentliche Anfrage, welche er über das Tor-Netzwerk senden möchte, mehrfach [vgl. GRS99]. Die eigentliche Anfrage wird also durch mehrere „Schalen“, ähnlich wie bei einer Zwiebel, geschützt. Fachsprachlich wird dies als *Onion* bezeichnet [vgl. GRS99]. Diese *Onion* wird nun über den *Circuit* an den Zielserver weitergeleitet [vgl. ebd.]. Zunächst wird die *Onion* vom Tor-Client  
165 an die *Entry Node* gesendet [vgl. K 23]. An jeder *Node*, wie der *Entry Node*, wird die *Onion* einmal entschlüsselt (die Zwiebel wird also einmal „geschält“), wodurch diese *Node* Informationen über die nächste *Node* der *Onion* erhält [vgl. GRS99]. Die *Node* leitet nun die *Onion* an den nächsten Knotenpunkt weiter [vgl. ebd.]. Sobald die *Onion* die *Exit Node* erreicht hat, entfernt diese die letzte „Schale“ der Anfrage  
170 [vgl. ebd.]. Die Anfrage ist somit nun vollständig entschlüsselt ist und an den Zielserver gesendet werden kann [vgl. ebd.]. Dieses Routing-Verfahren ist auch als *Onion-Routing* bekannt (siehe Abb. 3) [vgl. Au18].

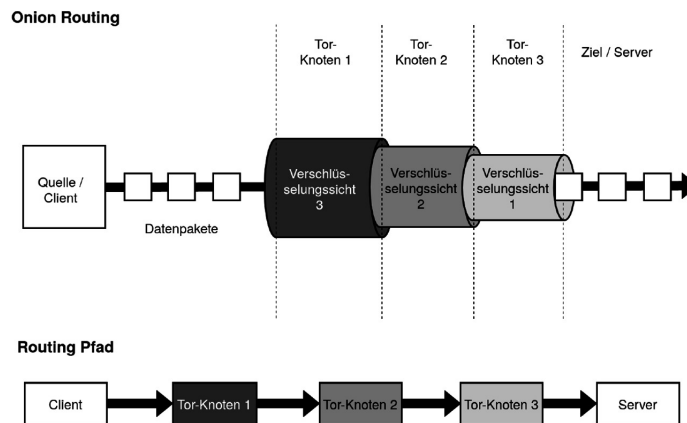


Abbildung 3: Das Prinzip des Onion-Routings [vgl. Wi+22a]

Nur die *Entry Node* kennt also die echte IP-Adresse des Clients und nur die *Exit Node* weiß, an welchen Zielserver die Anfrage geschickt wurde [vgl. K 23]. Zwischen-  
 geschaltete *Nodes* wie die *Relay Node* erkennen nur eine verschlüsselte Anfrage  
 und haben keine Informationen über den eigentlichen Client oder Zielserver der  
 Anfrage [vgl. El23]. Eine mögliche Schwachstelle liegt bei der *Exit Node*, welche  
 unverschlüsselte Anfragen an den Zielserver sendet [vgl. Mi17]. Dadurch können  
 Benutzerdaten (wenn nicht mit TLS verschlüsselt) bzw. IP-Adressen ausgelesen wer-  
 den [vgl. ebd.]. Durch die Einrichtung von *Exit Nodes* im Tor-Netzwerk könnte ein  
 Angreifer die Anonymität des Netzwerks bzw. der Benutzer gefährden (*Exit Node* des  
 Angreifers auch bekannt als *Bad-Relay*) [vgl. ebd.].

### 3.1 Onion Services

Onion Services sind eine mögliche Lösung für den *Exit Node*-Angriff [vgl. To24g].  
 Sie sind also nicht auf *Exit Nodes* angewiesen und agieren nur innerhalb des Tor-  
 Netzwerks mit anderen *Nodes* [vgl. ebd.]. Zusätzlich verhalten sich wie normale  
 Tor-Clients [vgl. ebd.]. Onion Services sind nicht wie die Zielserver im vorherigen  
 Beispiel über das normale Internet erreichbar, sondern nur über das Tor-Netzwerk  
 [vgl. To24f]. Im Gegensatz zu normalen öffentlichen Servern müssen bei Onion  
 Services keine Ports geöffnet werden, wenn Clients sich mit diesem verbinden  
 wollen [vgl. ebd.]. Der Grund dafür ist, dass Onion Service hierbei mit dem Tor-  
 Netzwerk nur über ausgehende Verbindungen kommuniziert und somit alle Daten  
 über diese Verbindung leitet (auch bekannt als *NAT-Punching*) [vgl. ebd.].

### 3.1.1 Verbindungsaufbau

195 Zunächst erzeugt der Onion Service ein Schlüsselpaar, bestehend aus einem öffentlichen und einem privaten Schlüssel [vgl. Ge23b]. Unter anderem wird nun aus dem öffentlichen Schlüssel die Adresse des Onion Service generiert, die mit „.onion“ endet [vgl. ebd.]. Ein Beispiel für eine solche Adresse ist die der Suchmaschine DuckDuckGo:

200 *duckduckgogg42xjoc72x3sjasowoarfbgcmvfimaftt6twagswzczad.onion* [vgl. Du24]. Der Onion Service verbindet sich nun wie ein normaler Client mit dem Tor-Netzwerk über einen *Circuit*, welcher in diesem Fall mit einer *Relay Node* anstatt einer *Exit Node* endet [vgl. To24f]. Der Service sendet nun eine Anfrage an die letzte *Node* im *Circuit*, sodass diese zu einem *Introduction Point* wird, wodurch andere Clients später

205 den Service erreichen können [vgl. ebd.]. Dieser Vorgang wiederholt sich zweimal, bis der Onion Service drei verschiedene *Introduction Points* auf drei verschiedenen *Circuits* gefunden hat [vgl. ebd.]. Nun wird ein *Onion Service descriptor* erstellt, welcher die Adressen der *Introduction Points* und notwendige Authentifizierungsschlüssel enthält [vgl. To24e; To24a]. Dieser wird schließlich mit dem privaten Schlüssel des

210 Onion Services signiert und an die Directory Authority<sup>1</sup> übermittelt, um den Onion Service für andere Tor-Clients erreichbar zu machen [vgl. ebd.]. Übertragen auf die Arbeit hat sich nun der Onion Service von Person A mit dem Tor-Netzwerk verbunden, aber es braucht noch Person B, die sich über ihren Tor-Client mit dem Onion Service von Person A verbindet. Damit der Client von Person B eine Verbindung ein-

215 gehen kann, fordert dieser nun die Directory Authority auf, den signierten *Descriptor* des Onion Services von Person A an den Client zu senden [vgl. K 23]. Der Client besitzt nun die Adressen der *Introduction Points* und die Signatur des *Descriptor*, sodass er die Signatur mit dem öffentlichen Schlüssel der Onion-Adresse überprüfen kann [vgl. ebd.]. Der Client generiert nun 20 zufällige Bytes (Secret) und sendet

220 diese an eine zufällig ausgewählte *Relay Node*, die nun als *Rendezvous Point* dient [vgl. To23b]. Der Client sendet das Secret auch an einen der *Introduction Points*, damit der Onion Service mit dem gleichen Secret eine Verbindung zum *Rendezvous Point* aufbauen kann [vgl. To23a]. Wenn der Client und der Onion Service über ihre *Circuits* verbunden sind, leitet der *Rendezvous Point* die Nachrichten zwischen den

---

<sup>1</sup>Die Directory Authority ist ein Server, welcher Informationen über das Tor-Netzwerk speichert und verteilt, wie z.B. die *Descriptor* der Onion Services [vgl. To24b]

225 beiden weiter [vgl. To23b]. Der Client und der Onion Service sind somit über das Tor-Netzwerk miteinander verbunden und benötigen keine *Exit Nodes* mehr, um kommunizieren zu können.

### 3.2 Sicherheit

Onion Services bieten eine mögliche Lösung für die *Exit Node*-Angriffe, da diese  
230 nur innerhalb des Tor-Netzwerkes agieren, somit nicht auf *Exit Nodes* angewiesen sind. Eine Deanonymisierung eines Onion Services wäre theoretisch möglich, wenn der ISP (Internet Service Provider, also z.B. Telekom, EWE, etc.) eingehende und ausgehende Verbindungen zwischen Client und Onion Service bzw. zu deren *Relay Node* aufzeichnet und mithilfe von Machine Learning analysiert [vgl. Lo+24].  
235 Die Umsetzung der theoretischen Grundlagen war bisher unter idealisierten Bedingungen erfolgreich, jedoch sind weitere Untersuchungen notwendig, um die potenziellen Gefahren dieses Algorithmus einordnen zu können [vgl. ebd.]. Bei einer Zusammenarbeit der Regierungen Deutschlands, der USA und Frankreichs könnten nach der Studie 78,34 % der *Circuits* deanonymisiert werden [vgl. ebd.].  
240 Dieses Szenario erscheint jedoch unrealistisch, da die Bürger in Deutschland, den USA und Frankreich das Recht auf freie Meinungsäußerung haben und die Staaten daher höchstwahrscheinlich keine Deanonymisierungsangriffe starten werden, um die Privatsphäre von z.B. Whistleblowern zu schützen [vgl. Am23; Re24]. Da über 6.500 verschiedene *Nodes* Teil des Tor-Netzwerkes sind, ist es in der Praxis kaum  
245 möglich alle *Nodes* zu blockieren, um das Netzwerk unzugänglich zu machen <sup>2</sup> [vgl. Wi+22b]. Im Gegenzug führt die hohe Anonymität, die durch die vielen *Nodes* und die mehrfache Verschlüsselung erreicht wird, auch dazu, dass das Tor-Netzwerk im Vergleich zum normalen Routing fast um das 120-fache langsamer ist [vgl. LSS10].

## 4 Dezentralisierung

250 Mit den vorgeschlagenen Konzepten ist der Messenger imstande anonym (durch das Tor-Netzwerk und Onion Services) und sicher (durch die E2EE) zu kommunizieren, jedoch wurde die Infrastruktur des Messengers noch nicht behandelt. Dafür ist die Betrachtung und Abwägung eines zentralen bzw. dezentralen Netzwerkes notwendig.

---

<sup>2</sup>Es ist zwar möglich die IP-Adressen jeglicher *Relay Nodes* zu blockieren, jedoch ist dies durch Pluggable Transports umgänglich [vgl. Pa+16]

Ein zentrales Netzwerk, zum Beispiel das Netzwerk von WhatsApp oder Signal, besteht aus einem Hauptserver, welcher alle Anfragen der Clients weiterverarbeitet [vgl. La22; Si16; Ge21]. Der Client muss bei dieser Netzwerkstruktur dem Hauptserver „vertrauen“ und kann nicht überprüfen, ob der kompromittiert wurde [vgl. Se19]. Dezentrale Netzwerke bestehen hingegen aus mehreren Servern, auf welche Rechenoperationen und oder Daten aufgeteilt werden [vgl. Li23].

## 4.1 Sicherheit

Durch die Abhängigkeit des zentralen Netzwerks von einem Hauptserver kann ein Angreifer gezielter, z.B. durch DDoS-Angriffe oder Kompromittierung, das gesamte Netzwerk außer Betrieb setzen oder möglicherweise Nutzerdaten (z.B. Telefonnummern bei Messengern) auslesen [vgl. De22]. Ein dezentrales Netzwerk mit einer Peer-to-Peer-Architektur<sup>3</sup> bietet dagegen eine größere Angriffsfläche, sodass mehrere Knoten im Netzwerk kompromittiert oder abgeschaltet werden müssen, um das Netzwerk für deren Benutzer unzugänglich zu machen [vgl. Ge23a]. Aufgrund dessen ist das dezentrale Netzwerk für einen anonymen und sicheren Messenger geeigneter. Wichtig hierbei ist allerdings, dass die Knoten im Netzwerk vertrauenswürdig sind (im Beispiel des Messengers, dass nur die Gesprächsteilnehmer Teil des Netzwerks sind), um zu verhindern, dass ein Angreifer die Onion-Adressen der Gesprächsteilnehmer durch einfaches Beitreten zum Netzwerk auslesen kann.

## 5 Umsetzung des Messengers

Folgende Kriterien müssen erfüllt sein, um den Messenger sicher, anonym und einfach zu gestalten:

**Einfache Handhabung und Installation** –Für die Installation und Nutzung des Messengers sollten möglichst wenig technische Kenntnisse nötig sein

**Peer-to-Peer-Verbindung** –Die Kommunikation zwischen Messengern sollte nur über eine direkte Verbindung erfolgen

**Anonymität** –Verbindungen zwischen Messengern nur das Tor-Netzwerk, keine Anfragen über das normale Internet

---

<sup>3</sup>Peer-to-Peer bedeutet, dass jeder Knoten im Netzwerk sowohl Client als auch Server sein kann, die bidirektional kommunizieren [vgl. HD05]

**Sicherheit** –Verschlüsselte Speicherung von Chatverläufen und Schlüsselpaaren, um Auslesen der Daten (z.B. durch totalitäre Staaten) zu verhindern

**E2EE** –Verschlüsselung der Nachrichten und Verifikation des Kommunikationspartners

285

290

295

Damit der Benutzer keine Konsole verwenden muss, um den Messenger zu benutzen, habe ich eine Desktopanwendung mit Rust und Tauri entwickelt. Tauri erfordert hierbei keine zusätzlichen Interpreter oder Bibliotheken, was die Installation vereinfacht. Außerdem kann die Anwendung für Windows, Linux und macOS kompiliert werden [vgl. Ru24]. Rust bietet eine hohe Performance und ist Memory Safe, wodurch viele Sicherheitslücken, wie Buffer Overflows, verhindert werden können [vgl. Ma23]. Das Tauri Framework bietet hier zwischen dem User Interface (UI), welches ich in Typescript und React programmiert habe, und dem Rust-Backend eine Schnittstelle, um Daten (*payloads*) zwischen Frontend und Backend zu versenden [vgl. Ta23]. Ich werde in diesem Kapitel nicht auf die Implementierung des Frontends eingehen, da dieser nur für die Benutzeroberfläche zuständig ist und keine weiteren Funktionalitäten bietet.

## 5.1 Peer-to-Peer-Verbindung

300

Wichtig bei der Peer-to-Peer-Funktionalität ist, dass der Messenger sowohl ein Client als auch ein Server sein kann, um Nachrichten zu empfangen und zu senden. Um als Server zu agieren, startet jeder Messenger einen HTTP-Server, der einen HTTP-Endpunkt anbietet (in diesem Messenger */ws/*), mit welchem Clients eine WebSocket<sup>4</sup>-Verbindung aufbauen können. Der Server ist somit in der Lage, sowohl Packets zu empfangen als auch zu senden.

```
HttpServer::new(|| {  
    return App::new()  
        // Return the default message to tell other clients  
        ↪ that this server is actually alive  
        .service(hello)  
        // The websocket endpoint  
        .route("/ws/", web::get().to(ws_index));  
})
```

---

<sup>4</sup>Ein Protokoll für bidirektionale Kommunikation zwischen Server und Client über HTTP [vgl. Mi23]

```

})
// Bind just to localhost and run
.bind(("127.0.0.1", CONFIG.service_port()))?
.run()
.await?;

```

305 Analog dazu hat jeder Messenger auch einen Websocket-Client, der sich direkt über das Tor-Netzwerk mit den anderen Messengern verbinden kann. Der Verbindungsaufbau zu anderen Messengern sieht wie folgt aus:

```

/// `onion_hostname` is the onion address of the other
↪ messenger to connect to
pub async fn new(onion_hostname: &str) -> Result<Self> {
    // [...]
    let connect_host = onion_hostname.to_string();

    // [...]

    // The address which is used to connect to the websocket
    let onion_addr = format!("ws://{}.onion/ws/", connect_host);

    debug!("[CLIENT] Creating proxy...");

    // Creating the Socks5Proxy client which is used to connect
    ↪ to the tor network
    let proxy = SocksProxy::new()?;
    debug!("[CLIENT] Connecting Proxy...");
    let mut onion_addr = Url::parse(&onion_addr)?;
    onion_addr
        .set_scheme("ws")
        .or(Err(anyhow!("[CLIENT] Could not set scheme")))?;

    // Connecting to the destination host using the proxy
    let sock = proxy.connect(&onion_addr).await?;

```

```

//[...]
// Connecting to the websocket with the client
let (ws_stream, _) =
    ↪ tokio_tungstenite::client_async(&onion_addr, sock).await?;

// [...]
}

```

Damit zwei Benutzer über den Messenger Nachrichten versenden können, muss ein Messenger die Rolle des Clients und der andere die Rolle des Servers übernehmen.

310 Dadurch, dass jeder Messenger sowohl Client als auch Server sein kann, müssen empfangene Nachrichten von Client und Server zusammengeführt und an das Front-end übermittelt werden, welches in der Bibliothek *messaging* implementiert ist:

```

/// A Manager which holds the connections by receiver name
pub struct MessagingManager {
    /// The connections by receiver name
    pub(crate) connections: Arc<RwLock<HashMap<String,
    ↪ Connection>>>,
}

/// A generalized connection struct that can be used for both
    ↪ the client and the server
#[derive(Debug, Clone)]
pub struct Connection {
    pub(super) info: Arc<RwLock<ConnInfo>>,
    read_thread: Arc<Option<ConnectionReadThread>>,
    pub(crate) self_verified: Arc<RwLock<bool>>,
    pub(crate) verified: Arc<RwLock<bool>>,
    pub(super) receiver_host: String,

    notifier_ready_tx: Sender<()>,
    notifier_ready_rx: Receiver<()>,
}

```



Der *MessagingManager* speichert sowohl Client-Server(C2S)- als auch Server-Client (S2C)-Verbindungen in einem allgemeinen Konstrukt, der *Connection*. Diese *Connections* werden in einer *HashMap* gespeichert. Der *MessagingManager* stellt dem Frontend eine generelle Schnittstelle zum Senden und Empfangen von Nachrichten zur Verfügung.

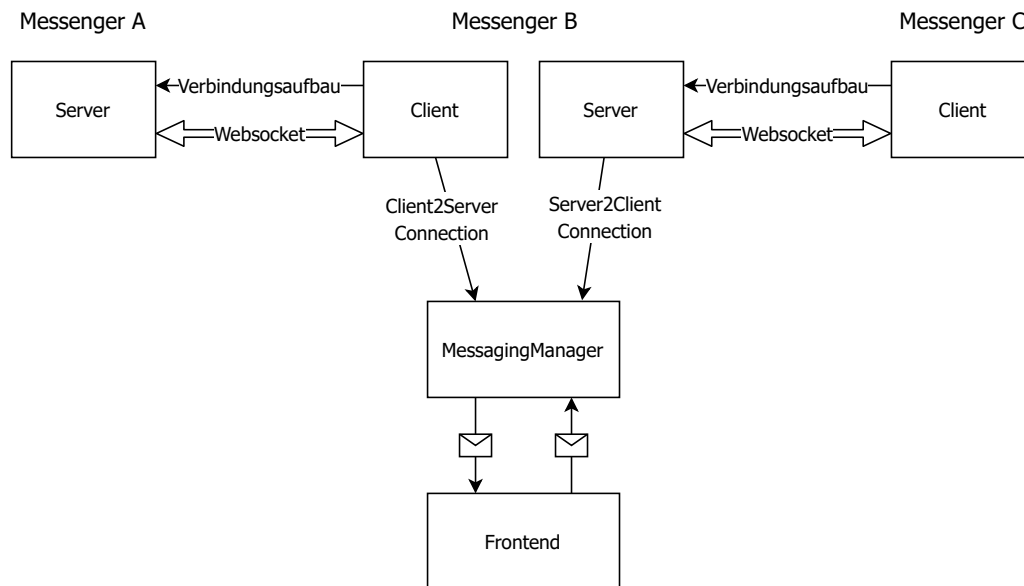


Abbildung 4: Mögliches Beispiel für Messenger B, welcher eine Verbindung zu Messenger A aufgebaut hat, und Messenger C, welcher mit Messenger B verbunden ist

Wenn in diesem Beispiel das Frontend von Messenger B eine Anfrage an den *MessagingManager* schickt, eine Nachricht an Messenger A zu senden, wird die Nachricht verschlüsselt und an den entsprechenden Client weiterleitet. Der Client sendet nun die Nachricht über die WebSocket-Verbindung an den Server von Messengers A.

## 5.2 Tor-Netzwerk

325 Damit der Messenger das Tor-Netzwerk verwenden kann, muss zunächst eine Verbindung zum Tor-Netzwerk hergestellt werden, welches über die *tor-proxy* Bibliothek geschieht. Der HTTP-Server wird über den Tor-Proxy in das Tor-Netzwerk als Onion Service eingebunden. Damit sich der Tor-Proxy gestartet werden kann, wird eine Konfigurationsdatei benötigt, welche durch die *tor-proxy* Bibliothek erstellt wird:

```

/// Converts the configuration to a `torrc` file format
async fn to_text(&self) -> Result<String> {
    let data = PathBuf::from(self.data_dir());

    let geo_ip = data.clone().join("geoip");
    let geo_ip6 = data.clone().join("geoip6");

    #[allow(unused_mut)]
    let mut config = format!(
        "SocksPort {}
HiddenServiceDir \"{}\"
HiddenServicePort 80 {}
DataDirectory \"{}\"
GeoIPFile \"{}\"
GeoIPv6File \"{}\"",
        self.get_socks_host(),
        self.service_dir().to_string_lossy().replace("\\", "/"),
        self.get_hidden_service_host(),
        self.data_dir().to_string_lossy().replace("\\", "/"),
        geo_ip.to_string_lossy().replace("\\", "/"),
        geo_ip6.to_string_lossy().replace("\\", "/"),
    );

    // [...]

    Ok(config)
}

```

Zusätzlich habe ich den Pluggable-Transport *Snowflake* mit in die Konfigurationsdatei eingebunden, wenn das Feature *snowflake* aktiv ist. Nun muss nur noch der Tor-Proxy gestartet werden:

```

let mut child = Command::new(TOR_BINARY_PATH.clone());
child.args(["-f", &get_torrc().to_string_lossy()]);

```

330

```

child.current_dir(TOR_BINARY_PATH.parent().unwrap());
child.stdout(Stdio::piped());
child.stderr(Stdio::piped());
//[...]
let child = child.spawn()?;

```

Wenn der Proxy gestartet ist, werden eingehende Verbindungen zum Onion Service dieses Messengers auf den Port des HTTP-Servers umgeleitet. Der Messenger ist also mit dem Tor-Netzwerk verbunden und der HTTP-Server ist über eine Onion Adresse erreichbar. Andere Messenger können sich folglich anonym über das Tor-Netzwerk mit diesem Messenger verbinden.

### 5.3 Sicherheit

Ein symmetrisch verschlüsselter Datenspeicher wird durch die Bibliothek *secure-storage* implementiert. Mit dieser Bibliothek können beliebige *Structs* in Text umgewandelt und verschlüsseln bzw. ausgelesen und entschlüsselt werden. Die *storage-internal* Bibliothek verwendet hierbei die Methoden der *secure-storage* Bibliothek und dient als Wrapper, um die Daten auf der Festplatte zu speichern und wieder auszulesen. Der Datenspeicher enthält hierbei eine *HashMap*, die als Schlüssel die Onion Adresse anderer Messengers und als Wert die Chatinformationen enthält. Chatinformationen sind zum Beispiel gesendete oder empfangene Nachrichten, Schlüsselpaare und öffentliche Schlüssel.

```

#[derive(Clone, Debug, Serialize, Deserialize, Zeroize,
↳ ZeroizeOnDrop)]
pub struct StorageChat {
    /// All messages sent to this receiver or received from this
    ↳ receiver
    pub messages: Vec<ChatMessage>,
    //[...]

    /// The public key which is used to encrypt messages when
    ↳ being sent to the receiver [...]
    #[zeroize(skip)]

```

```

pub rec_pub_key: Option<PublicKey>,
    /// Private key of this messenger used to decrypt the
    ↪ messages that are being received [...]
pub priv_key: PrivateKey,
}

```

Der *StorageChat* enthält dabei entweder die an den Empfänger gesendeten oder von ihm empfangenen Nachrichten (*messages*), den öffentlichen Schlüssel des Kommunikationspartners (*rec\_pub\_key*) und den privaten Schlüssel des Chats *priv\_key*. Um die Nutzerdaten vor weiteren möglichen Angriffen zu schützen, verwende ich die Bibliothek *zeroize*, die sensible Daten (wie private Schlüssel) aus dem Arbeitsspeicher löscht, wenn die Applikation geschlossen wird (Zeroization) [vgl. Na24]. Zudem ist es durch die symmetrische Verschlüsselung des Datenspeichers für Angreifer nicht möglich (sofern die Applikation geschlossen ist), private Schlüssel oder Chatverläufe auszulesen, wodurch die Privatsphäre der Nutzer geschützt wird.

## 5.4 Ende-zu-Ende-Verschlüsselung

Das letzte Kriterium, welches der Messenger nun erfüllen muss, ist die Ende-zu-Ende-Verschlüsselung. Dazu muss zunächst die Identität des anderen Kommunikationspartners überprüft werden.

### 5.4.1 Verifizierung der Identität

Um das Konzept der E2EE umzusetzen, muss der Sender einer Nachricht sicher sein, dass der Empfänger tatsächlich derjenige ist, für den er sich ausgibt. Zum Zwecke der Erklärung gehen wir nun davon aus, dass Messenger A eine Nachricht an Messenger B senden möchte. Messenger A wäre in diesem Fall der Client und Messenger B der Server. Messenger A und Messenger B erzeugen zunächst (falls noch nicht vorhanden) private Schlüssel und erstellen ein neues *StorageChat*-Konstrukt, in welchem die privaten Schlüssel gespeichert werden. Damit sowohl Client als auch Server sicher sein können, dass der Kommunikationspartner tatsächlich der ist, für den er sich ausgibt, wird vom Client zunächst ein *Identity*-Packet versendet. Dieses besteht aus dem eigenen Hostnamen, der Signatur des Hostnames addiert mit dem Zielhostname (durch den privaten Schlüssel des Chats signiert) und dem öffentlichen Schlüssel des Schlüsselpaares (vom Chat). Das *Identity*-Packet wird also wie folgt

generiert:

```
async fn identity(receiver: &str) -> Result<Self> {  
    // Get the own hostname  
    let own_hostname = get_service_hostname(true)  
        .await?  
        .ok_or(anyhow!("Could not get own hostname"))?;  
  
    // Get the private key for the receiver (used to decrypt  
    ↪ messages)  
    let priv_key =  
        ↪ StorageManager::get_or_create_private_key(receiver).await?;  
    let pub_key = priv_key.clone().try_into()?;  
  
    // Creating a signature for the receiver with the hostname  
    let keypair = PKey::from_rsa(priv_key.0)?;  
    let mut signer = Signer::new(*DIGEST, &keypair)?;  
  
    signer.update((own_hostname.clone() + receiver).as_bytes())?;  
    let signature = signer.sign_to_vec()?;  
  
    // Return the identity packet  
    Ok(C2SPacket::SetIdentity(Identity {  
        hostname: own_hostname,  
        signature,  
        pub_key  
    }))  
}
```

Ein wichtiges Detail spielt hierbei die Signatur des *Identity*-Packets. Sie besteht sowohl aus dem eigenen Hostname als auch dem Ziel des Hostnames, um zu verhindern, dass ein Angreifer das *Identity*-Packet abfängt und sich damit bei anderen Messengern als dieser Messenger ausgibt. Nachdem der Server das Packet empfangen hat, überprüft er es. Dazu ruft er den öffentlichen Schlüssel des Kommunikati-

375

onspartners ab, und überprüft damit die Signatur des *Identity*-Packets:

```
async fn verify(&self) -> Result<()> {
    let Identity { hostname: remote_host, pub_key, signature } =
        ↪ self;
    // Get the own hostname
    let own_hostname =
        ↪ get_service_hostname(!remote_host.ends_with("-dev-client"))
            .await?
            .ok_or(anyhow!("Could not get own hostname"))?;

    debug!("Reading to verify...");
    // Check if there is a public key for the given receiver
    let local_pub_key = STORAGE.read().await.get_data(|e| {
        let key = e.chats.get(remote_host)
            .and_then(|e| e.rec_pub_key.clone());

        Ok(key)
    }).await?;

    debug!("Done");

    // If there is a public key, verify the signature
    if let Some(local_pub_key) = local_pub_key {
        info!("Verifying for hostname: {:?}", remote_host);
        let keypair = PKey::from_rsa(local_pub_key.0)?;
        let mut verifier = Verifier::new(*DIGEST, &keypair)?;

        // Verify the signature with the public key
        verifier.update((remote_host.to_string() +
            ↪ &own_hostname).as_bytes())?;
        let is_valid = verifier.verify(&signature)?;
```

```

    if !is_valid {
        warn!("[INVALID_SIGNATURE] Wrong signature was given!
        ↪ This may be an attack!");
        return Err(anyhow!("Wrong signature was given! This
        ↪ may be an attack!"));
    }

    Ok(())
} else {
    // Adding public key to storage because it does not
    ↪ exist
    info!("No chat with hostname '{}' yet. Adding new
    ↪ receiver...", remote_host);
    STORAGE.read().await.modify_storage_data(|e| {
        let res = e.chats.entry(remote_host.clone())
            .or_insert_with(||
            ↪ StorageChat::new(&remote_host));

        res.rec_pub_key = Some(pub_key.clone());

        Ok(())
    }).await?;
    debug!("Done.");

    Ok(())
}
}

```

380 Ist die Identität gültig, sendet der Server seine Identität an den Client. Der gleiche Validierungsprozess findet nun auch auf dem Client statt. Wenn der Client die *Identity* als gültig betrachtet, ist eine sichere Verbindung zwischen Client und Server hergestellt.

## 5.5 Nachrichten versenden

385 Gehen wir davon aus, dass der Client an den Server über die sichere Verbindung eine Nachricht versenden möchte. Dazu ruft er zunächst den öffentlichen Schlüssel des Empfängers aus dem Datenspeicher ab und verschlüsselt die Nachricht mit dem RSA-Verfahren. Anschließend sendet er die verschlüsselte Nachricht an den Server.

```
/// Sends a message to the receiver with the given date and
↪ msg, internal function
async fn inner_send(&self, msg: &str, date: u128) -> Result<()>
↪ {
    let raw = msg.as_bytes().to_vec();

    let tmp = self.receiver_host.clone();
    debug!("Reading public key for {}...", tmp);

// Firstly we need to get the public key of the receiver
    let pub_key = STORAGE
        .read()
        .await
        .get_data(|e| {
            e.chats
                .get(&tmp)
                .and_then(|e| e.rec_pub_key.clone())
                .ok_or(anyhow!("The pub key was empty (should never
↪ happen)"))
        })
        .await?;

    debug!("Sending");
// And encrypt the message
    let bin = pub_key.encrypt(&raw)?;
```



```

// And send it to the receiver, if we are the client, send a
↪ client packet if not, server packet
match &*self.info.read().await {
  ConnInfo::Client(c) => {
    debug!("Client msg");
    let packet = C2SPacket::Message((date, bin));
    c.feed_packet(packet).await?;
  }
  ConnInfo::Server(_, s) => {
    debug!("Server msg");
    let packet = S2CPacket::Message((date, bin));

    s.send(packet).await?;
  }
};

Ok(())
}

```

Der Server empfängt die verschlüsselte Nachricht vom Client über die Websocket-  
 390 Verbindung und entschlüsselt sie anschließend mit dem privaten Schlüssel des Chats.  
 Damit ist die Nachricht nun empfangen und entschlüsselt, sodass sie an das Frontend  
 übermittelt werden kann. Benutzer können nun sicher und anonym miteinander  
 kommunizieren.

## 6 Nachteile und Lösungsmöglichkeiten

395 Der Messenger bietet zwar hohe Anonymität und Sicherheit, jedoch ist es uner-  
 lässlich auch die Nachteile des Messengers und deren Lösungsmöglichkeiten zu  
 betrachten. Durch die Struktur des Tor-Netzwerkes können Datenmengen um fast  
 das 120-fache langsamer übermittelt werden, welches bei einfachen Textnachrichten  
 nicht auffallen mag, bei größeren Datenmengen, wie zum Beispiel Bildern, jedoch  
 400 ein Problem darstellen könnte [vgl. LSS10]. Dadurch, dass der Client eine Websocket-  
 Verbindung mit dem Onion Service aufbaut, herrscht hier ein *long-term-circuit*,

wodurch der *Circuit* zwischen Onion Service und Client nicht erneuert wird und somit für Angriffe anfälliger sein könnte [vgl. To24c]. Eine mögliche Lösung für dieses Problem könnte eine kurzzeitige Trennung der Verbindung zum Onion Service sein, sodass ein neuer *Circuit* zu dem Onion Service aufgebaut wird. Zusätzlich ist die Nachrichtenlänge durch das Padding der asymmetrischen Verschlüsselung begrenzt [vgl. Op24]. Eine hybride Verschlüsselung, also eine Kombination aus asymmetrischer und symmetrischer Verschlüsselung, ist eine mögliche Lösung für die limitierte Datenlänge [vgl. KW11]. Dabei generiert bereits bei dem Verbindungsaufbau der Server einen zufälligen symmetrischen Schlüssel [vgl. ebd.]. Dieser wird mit dem öffentlichen Schlüssel des Clients verschlüsselt und an den Client übermittelt, welcher diesen entschlüsselt und abspeichert, sodass sowohl Server als auch Client den gleichen symmetrischen Schlüssel teilen [vgl. ebd.]. Mit diesem symmetrischen Schlüssel können nun Daten ausgetauscht werden. Somit werden die Vorteile der symmetrischen Verschlüsselung (schnell und keine Datenlängenbegrenzung) mit den Vorteilen der asymmetrischen Verschlüsselung (sicherer Austausch von Schlüsseln) kombiniert [vgl. Ro22]. Aufgrund der Infrastruktur dieses Messengers, müssen beide Kommunikationspartner den Messenger geöffnet haben, damit diese miteinander kommunizieren können (der Onion Service wird nur durch Öffnen des Messengers gestartet).

## 7 Fazit

In dieser Arbeit wurde die Frage „Dezentralisierte asymmetrische Verschlüsselung über Tor –Die Lösung für sicheres Messaging?“ untersucht. Auf Grundlage meiner Ergebnisse kann ich diese Frage aus heutiger Sicht bestätigen. Bei der Bearbeitung kam ich zu folgenden zentralen Ergebnissen: Der Messenger bietet durch das Tor-Netzwerk und durch die dezentrale Infrastruktur ein hohes Maß an Anonymität und Sicherheit. Zusätzlich schützt die Ende-zu-Ende-Verschlüsselung die Nutzer vor möglichen Angreifern. Die Plattformunabhängigkeit der Desktopanwendung und die einfache Bedienung ermöglichen es auch technisch unerfahrenen Nutzern, die in einem totalitären Staat leben, den Messenger zu nutzen und sicher mit der Außenwelt zu kommunizieren. Nach aktuellen Forschungen ist noch kein in der Praxis umsetzbarer Deanonymisierungsangriff auf die Onion Services bzw. das Tor-

Netzwerk bekannt. Ob dies auch zukünftig noch Gültigkeit besitzt, kann aus heutiger Sicht nicht beurteilt werden. Normale Messenger, wie wir sie täglich nutzen, wird  
435 dieser Lösungsvorschlag jedoch nicht ersetzen können. Ein Grund dafür ist langsame Geschwindigkeit des Tor-Netzwerkes, welche bei größeren Datenmengen (wie zum Beispiel Bildern oder Videos) ein Problem werden könnte. Zusätzlich müssen beide Kommunikationspartner aufgrund der dezentralen Infrastruktur den Messenger geöffnet haben, um miteinander kommunizieren zu können, welches sich als unprak-  
440 tisch erweisen könnte. Das Tor-Netzwerk weist nicht nur positive Effekte auf, sondern könnte auch die organisierte Kriminalität fördern, welches in einer weiteren Arbeit untersucht werden könnte. Der Messenger macht den ersten Schritt für eine sichere und anonyme Kommunikation, allerdings muss in diesem Bereich noch viel geforscht werden, um die Anonymität und Sicherheit der Bürger und Journalisten weiterhin zu  
445 gewährleisten und sich vor möglichen Angriffen zu schützen. Zukünftig könnte die hybride Verschlüsselung eine mögliche Lösung für die limitierte Nachrichtenlänge sein und das Senden von größeren Datenmengen ermöglichen. Eine gemeinsame Zusammenarbeit und Weiterentwicklung dieses Messengers ist meiner Meinung nach wichtig, um Bürgern und Reportern, wessen Meinungsfreiheit eingeschränkt  
450 ist, ein Sprachrohr zu bieten und deren Privatsphäre zu schützen.

## Literatur

- [Am23] Amnesty International. *Amnesty International Report 2022/23*. London WC1X 0DW, United Kingdom: International Amnesty Ltd, 2023, S. 307–311, 122–128, 196–201. ISBN: 978-0-86210-502-0. URL: <https://www.amnesty.org/en/wp-content/uploads/2023/04/WEBPOL1056702023ENGLISH-2.pdf> (besucht am 13. 01. 2024).
- [Au18] Autumn. „How does Tor \*really\* work?“ In: *HackerNoon* (Feb. 2018). URL: <https://hackernoon.com/how-does-tor-really-work-c3242844e11f> (besucht am 23. 01. 2024).
- [BSW15a] Albrecht Beutelspacher, Jörg Schwenk und Klaus-Dieter Wolfenstetter. „Kryptologische Grundlagen“. In: *Moderne Verfahren der Kryptographie: Von RSA zu Zero-Knowledge*. Wiesbaden: Springer Fachmedien Wiesbaden, 2015, S. 14. ISBN: 978-3-8348-2322-9. DOI: 10.1007/978-3-8348-2322-9\_2. URL: [https://doi.org/10.1007/978-3-8348-2322-9\\_2](https://doi.org/10.1007/978-3-8348-2322-9_2).
- [Bh23] Jasdeep Bhatia. *Understanding System Design Whatsapp & Architecture*. Mai 2023. URL: [https://pwskills.com/blog/system-design-whatsapp/#Client-Server\\_Architecture](https://pwskills.com/blog/system-design-whatsapp/#Client-Server_Architecture) (besucht am 22. 01. 2024).
- [Bu23a] Bundesamt für Sicherheit in der Informationstechnik. *BSI TR-02102-1 Kryptographische Verfahren: Empfehlungen und Schlüssellängen*. Bundesamt für Sicherheit in der Informationstechnik, Jan. 2023, S. 41. URL: [https://www.bsi.bund.de/SharedDocs/Downloads/DE/BSI/Publikationen/TechnischeRichtlinien/TR02102/BSI-TR-02102.pdf?\\_\\_blob=publicationFile&v=9](https://www.bsi.bund.de/SharedDocs/Downloads/DE/BSI/Publikationen/TechnischeRichtlinien/TR02102/BSI-TR-02102.pdf?__blob=publicationFile&v=9) (besucht am 21. 01. 2024).
- [Bu24] Bundesamt für Sicherheit in der Informationstechnik. *Darknet und Deep Web – wir bringen Licht ins Dunkle*. Feb. 2024. URL: [https://www.bsi.bund.de/DE/Themen/Verbraucherinnen-und-Verbraucher/Informationen-und-Empfehlungen/Darknet-und-Deep-Web/darknet-und-deep-web\\_node.html](https://www.bsi.bund.de/DE/Themen/Verbraucherinnen-und-Verbraucher/Informationen-und-Empfehlungen/Darknet-und-Deep-Web/darknet-und-deep-web_node.html) (besucht am 19. 02. 2024).
- [Bu23b] Bundeskriminalamt. *BKA - Listenseite für Pressemitteilungen 2023 - Veröffentlichung Bundeslagebild: über 130.000 Fälle von Cybercrime in 2022*. Aug. 2023. URL: [https://www.bka.de/DE/Presse/Listenseite\\_](https://www.bka.de/DE/Presse/Listenseite_)

- Pressemitteilungen/2023/Presse2023/230816\_PM\_BLB\_Cybercrime.html (besucht am 19. 02. 2024).
- [De22] Anish Devasia. „Cybersecurity in Centralized Vs. Decentralized Computing“. In: *Control Automation* (Sep. 2022). URL: <https://control.com/technical-articles/cybersecurity-in-centralized-vs-decentralized-computing> (besucht am 20. 02. 2024).
- [Du24] DuckDuckGo. *duckduckgo onion at DuckDuckGo*. Feb. 2024. URL: <https://duckduckgo.com/?q=duckduckgo+onion&atb=v160-7&ia=web> (besucht am 02. 02. 2024).
- [El23] Electronic Frontier Foundation. *What is a Tor Relay?* Feb. 2023. URL: <https://www.eff.org/de/pages/what-tor-relay> (besucht am 20. 02. 2024).
- [El16] Elektronik Kompendium. *TCP/IP*. Nov. 2016. URL: <https://www.elektronik-kompendium.de/sites/net/0606251.htm> (besucht am 23. 01. 2024).
- [Fä23] Jan Fährmann. „Rechtliche Rahmenbedingungen der Nutzung von Positionsdaten durch die Polizei und deren mögliche Umsetzung in die Praxis—zwischen Strafverfolgung und Hilfe zur Wiedererlangung des Diebesguts“. In: *Private Positionsdaten und polizeiliche Aufklärung von Diebstählen*. Nomos Verlagsgesellschaft mbH & Co. KG. 2023, S. 142. ISBN: 978-3-8487-5905-7.
- [Ge23a] GeeksforGeeks. *Comparison Centralized Decentralized and Distributed Systems*. Sep. 2023. URL: <https://www.geeksforgeeks.org/comparison-centralized-decentralized-and-distributed-systems> (besucht am 09. 02. 2024).
- [Ge23b] GeeksforGeeks. *What are onion services in Tor Browser*. Okt. 2023. URL: <https://www.geeksforgeeks.org/what-are-onion-services-in-tor-browser> (besucht am 04. 02. 2024).
- [Ge21] Gemini. *Networks: Decentralized, Distributed, & Centralized | Gemini*. Juli 2021. URL: <https://www.gemini.com/cryptopedia/blockchain-network-decentralized-distributed-centralized#section-what-is-a-centralized-network> (besucht am 08. 02. 2024).

- [GRS99] David Goldschlag, Michael Reed und Paul Syverson. „Onion Routing for Anonymous and Private Internet Connections“. In: *Communications of the ACM* 42 (Feb. 1999). doi: 10.1145/293411.293443.
- [Gr14] Andy Greenberg. „Hacker Lexicon: What Is End-to-End Encryption?“ In: *WIRED* (Nov. 2014). URL: <https://www.wired.com/2014/11/hacker-lexicon-end-to-end-encryption> (besucht am 16. 01. 2024).
- [HK20] Aljaafari Hamza und Basant Kumar. „A Review Paper on DES, AES, RSA Encryption Standards“. In: *2020 9th International Conference System Modeling and Advancement in Research Trends (SMART)*. 2020, S. 337. doi: 10.1109/SMART50582.2020.9336800.
- [HD05] Manfred Hauswirth und Schahram Dustdar. „Peer-to-peer: Grundlagen und Architektur“. In: *Datenbank-Spektrum* 13.2005 (2005), S. 1.
- [Ho16] Chris Hoffman. „How the ‚Great Firewall of China‘ Works to Censor China’s Internet“. In: *How-To Geek* (Sep. 2016). URL: <https://www.howtogeek.com/162092/htg-explains-how-the-great-firewall-of-china-works> (besucht am 19. 02. 2024).
- [IB21] IBM. *IBM Documentation*. März 2021. URL: <https://www.ibm.com/docs/en/ztpf/2020?topic=concepts-symmetric-cryptography> (besucht am 23. 01. 2024).
- [Is16] Ni Made Satvika Iswari. „Key generation algorithm design combination of RSA and ElGamal algorithm“. In: *2016 8th International Conference on Information Technology and Electrical Engineering (ICITEE)*. 2016, S. 1–2. doi: 10.1109/ICITEED.2016.7863255.
- [K 23] Arun K. L. „Detailed Anatomy of the Tor Network | Structure of the Tor Network“. In: *Sec Master* (Okt. 2023). URL: <https://theseccmaster.com/detailed-anatomy-of-the-tor-network-structure-of-the-tor-network> (besucht am 23. 01. 2024).
- [Kr16a] N. Krzyworzeka. „Asymmetric cryptography and trapdoor one-way functions“. In: *Automatyka / Automatics* 20.2 (2016), S. 40–42. ISSN: 1429-3447. doi: 10.7494/automat.2016.20.2.39.

- [KW11] Ralf Küsters und Thomas Wilke. „Asymmetrische Verschlüsselung“. In: *Moderne Kryptographie: Eine Einführung*. Wiesbaden: Vieweg+Teubner, 2011, S. 175. ISBN: 978-3-8348-8288-2. DOI: 10.1007/978-3-8348-8288-2\_6. URL: [https://doi.org/10.1007/978-3-8348-8288-2\\_6](https://doi.org/10.1007/978-3-8348-8288-2_6).
- [La22] Lakhwinder. *Understanding WhatsApp Architecture*. Aug. 2022. URL: <https://hackernoon.com/understanding-whatsapp-architecture> (besucht am 08. 02. 2024).
- [Li23] Max (Chong) Li. „What A Decentralized Infrastructure Is And How It Actually Works“. In: *Forbes* (Mai 2023). URL: <https://www.forbes.com/sites/digital-assets/2023/05/07/what-a-decentralized-infrastructure-is-and-how-it-actually-works> (besucht am 08. 02. 2024).
- [LSS10] Tomáš Liška, Tomáš Sochor und Hana Sochorová. „Comparison between normal and TOR-Anonymized Web Client Traffic“. In: *Procedia - Social and Behavioral Sciences* 9 (2010). World Conference on Learning, Teaching and Administration Papers, S. 545. ISSN: 1877-0428. DOI: <https://doi.org/10.1016/j.sbspro.2010.12.194>. URL: <https://www.sciencedirect.com/science/article/pii/S1877042810022998>.
- [Lo+24] Daniela Lopes, Jin-Dong Dong, Pedro Medeiros, Daniel Castro, Diogo Baradas, Bernardo Portela, João Vinagre, Bernardo Ferreira, Nicolas Christin und Nuno Santos. „Flow Correlation Attacks on Tor Onion Service Sessions with Sliding Subset Sum“. In: *Network and Distributed System Security Symposium*. Internet Society, Feb. 2024. ISBN: 1-891562-93-2. URL: <https://www.ndss-symposium.org/ndss-paper/flow-correlation-attacks-on-tor-onion-service-sessions-with-sliding-subset-sum/> (besucht am 08. 02. 2024).
- [LB21] Ben Lutkevich und Madelyn Bacon. „end-to-end encryption (E2EE)“. In: *Security* (Juni 2021). URL: <https://www.techtarget.com/searchsecurity/definition/end-to-end-encryption-E2EE> (besucht am 16. 01. 2024).
- [Ma23] Giorgio Martinez. „Rust: Exploring Memory Safety and Performance - Giorgio Martinez - Medium“. In: *Medium* (Okt. 2023). ISSN: 9598-0120. URL: <https://medium.com/@giorgio.martinez1926/unlocking-the-pow>

- er-of-rust-exploring-memory-safety-and-performance-9afd5980c120  
(besucht am 11. 02. 2024).
- [Mi23] Microsoft. *WebSockets - UWP applications*. Juli 2023. URL: <https://learn.microsoft.com/de-de/windows/uwp/networking/websockets> (besucht am 13. 02. 2024).
- [Mi17] Simon Miescher. „Bad Exits in the Tor Network“. In: *University of Zurich, Department of Informatics* 25 (Aug. 2017), S. 21–22.
- [Na24] National Institute of Standards and Technology. *zeroization - Glossary | CSRC*. Feb. 2024. URL: <https://csrc.nist.gov/glossary/term/zeroization> (besucht am 15. 02. 2024).
- [Op24] Openssl Foundation, Inc. */docs/man3.1/man3/RSA\_public\_encrypt.html*. Jan. 2024. URL: [https://www.openssl.org/docs/man3.1/man3/RSA\\_public\\_encrypt.html](https://www.openssl.org/docs/man3.1/man3/RSA_public_encrypt.html) (besucht am 04. 02. 2024).
- [Pa+16] Ioana-Cristina Panait, Cristian Pop, Alexandru Sirbu, Adelina Vidovici und Emil Simion. „TOR - Didactic Pluggable Transport“. In: *Innovative Security Solutions for Information Technology and Communications*. Hrsg. von Ion Bica und Reza Reyhanitabar. Cham: Springer International Publishing, 2016, S. 238. ISBN: 978-3-319-47238-6.
- [Re24] Reporter ohne Grenzen, e. V. *USA | Reporter ohne Grenzen für Informationsfreiheit*. Feb. 2024. URL: <https://www.reporter-ohne-grenzen.de/usa> (besucht am 08. 02. 2024).
- [Ro22] Margaret Rouse. *Hybrid Encryption*. Jan. 2022. URL: <https://www.techopedia.com/definition/1779/hybrid-encryption> (besucht am 15. 02. 2024).
- [Ru24] Rust Foundation. *cargo build - The Cargo Book*. Feb. 2024. URL: <https://doc.rust-lang.org/cargo/commands/cargo-build.html> (besucht am 11. 02. 2024).
- [Se19] Session. *Centralisation vs decentralisation in private messaging - Session Private Messenger*. Dez. 2019. URL: <https://getsession.org/blog/centralisation-vs-decentralisation-in-private-messaging> (besucht am 08. 02. 2024).



- [Si16] Signal Messenger. *Reflections: The ecosystem is moving*. Mai 2016. URL: <https://signal.org/blog/the-ecosystem-is-moving> (besucht am 08. 02. 2024).
- [Ta96] D. Taipale. „Implementing the Rivest, Shamir, Adleman cryptographic algorithm on the Motorola 56300 family of digital signal processors“. In: *Southcon/96 Conference Record*. Juni 1996, S. 10–11. DOI: 10.1109/SOUTHC.1996.535035.
- [Ta13] Marius Tarnauceanu. *A generalization of the Euler’s totient function*. 2013. DOI: 10.48550/arXiv.1312.1428. arXiv: 1312.1428 [math.GR]. URL: <https://doi.org/10.48550/arXiv.1312.1428>.
- [Ta23] Tauri Programme. *Events | Tauri Apps*. März 2023. URL: <https://tauri.app/v1/guides/features/events> (besucht am 15. 02. 2024).
- [To24a] Tor Project. *Deriving blinded keys and subcredentials [SUBCRED] - Tor Specifications*. Jan. 2024. URL: <https://spec.torproject.org/rend-spec/deriving-keys.html> (besucht am 04. 02. 2024).
- [To24b] Tor Project. *directory authority | Tor Project | Support*. Feb. 2024. URL: <https://support.torproject.org/glossary/directory-authority> (besucht am 02. 02. 2024).
- [To24c] Tor Project. *How can we help? | Tor Project | Support*. Feb. 2024. URL: <https://support.torproject.org/about/change-paths/> (besucht am 04. 02. 2024).
- [To24d] Tor Project. *Kanal | Tor Project | Hilfe*. Jan. 2024. URL: <https://support.torproject.org/de/glossary/circuit> (besucht am 31. 01. 2024).
- [To24e] Tor Project. *src/core/or · main · The Tor Project / Core / Tor · GitLab*. Feb. 2024. URL: [https://gitlab.torproject.org/tpo/core/tor/-/blob/main/src/feature/hs/hs\\_descriptor.c?ref\\_type=heads#L45-L54](https://gitlab.torproject.org/tpo/core/tor/-/blob/main/src/feature/hs/hs_descriptor.c?ref_type=heads#L45-L54) (besucht am 04. 02. 2024).
- [To23a] Tor Project. *The introduction protocol [INTRO-PROTOCOL] - Tor Specifications*. Dez. 2023. URL: <https://spec.torproject.org/rend-spec/introduction-protocol.html> (besucht am 04. 02. 2024).

- [To23b] Tor Project. *The rendezvous protocol - Tor Specifications*. Nov. 2023. URL: <https://spec.torproject.org/rend-spec/rendezvous-protocol.html> (besucht am 04. 02. 2024).
- [To24f] Tor Project. *Tor Project | How do Onion Services work?* [Online; accessed 2. Feb. 2024]. Jan. 2024. URL: <https://community.torproject.org/onion-services/overview>.
- [To24g] Tor Project. *Tor Project | Talk about onions*. Jan. 2024. URL: <https://community.torproject.org/onion-services/talk> (besucht am 31. 01. 2024).
- [Tu08] Clay S Turner. „Euler’s totient function and public key cryptography“. In: *Nov 7 (2008)*, S. 138.
- [Wa+13] Hongjun Wang, Zhiwen Song, Xiaoyu Niu und Qun Ding. „Key generation research of RSA public cryptosystem and Matlab implement“. In: *PROCEEDINGS OF 2013 International Conference on Sensor Network Security Technology and Privacy Communication System*. 2013, S. 126–127. DOI: 10.1109/SNS-PCS.2013.6553849.
- [Wi+22b] Sandra Wittmer, Florian Platzer, Martin Steinebach und York Yannikos. „Deanonymisierung im Tor-Netzwerk – Technische Möglichkeiten und rechtliche Rahmenbedingungen“. In: *Selbstbestimmung, Privatheit und Datenschutz : Gestaltungsoptionen für einen europäischen Weg*. Hrsg. von Michael Friedewald, Michael Kreutzer und Marit Hansen. Wiesbaden: Springer Fachmedien Wiesbaden, 2022, S. 154–155. ISBN: 978-3-658-33306-5. DOI: 10.1007/978-3-658-33306-5\_8. URL: [https://doi.org/10.1007/978-3-658-33306-5\\_8](https://doi.org/10.1007/978-3-658-33306-5_8).
- [Wu+23] Mingshi Wu, Jackson Sippe, Danesh Sivakumar, Jack Burg, Peter Anderson, Xiaokang Wang, Kevin Bock, Amir Houmansadr, Dave Levin und Eric Wustrow. „How the Great Firewall of China Detects and Blocks Fully Encrypted Traffic“. In: *32nd USENIX Security Symposium (USENIX Security 23)*. Anaheim, CA: USENIX Association, Aug. 2023, S. 2666. ISBN: 978-1-939133-37-3. URL: <https://www.usenix.org/conference/usenixsecurity23/presentation/wu-mingshi> (besucht am 14. 01. 2024).

## Anhang

- [BSW15b] Albrecht Beutelspacher, Jörg Schwenk und Klaus-Dieter Wolfenstetter. „Kryptologische Grundlagen“. In: *Moderne Verfahren der Kryptographie: Von RSA zu Zero-Knowledge*. Wiesbaden: Springer Fachmedien Wiesbaden, 2015, S. 14. ISBN: 978-3-8348-2322-9. DOI: 10.1007/978-3-8348-2322-9\_2. URL: [https://doi.org/10.1007/978-3-8348-2322-9\\_2](https://doi.org/10.1007/978-3-8348-2322-9_2).
- [Kr16b] N. Krzyworzeka. „Asymmetric cryptography and trapdoor one-way functions“. In: *Automatyka / Automatics* 20.2 (2016), S. 41. ISSN: 1429-3447. DOI: 10.7494/automat.2016.20.2.39.
- [Wi+22a] Sandra Wittmer, Florian Platzer, Martin Steinebach und York Yannikos. „Deanonymisierung im Tor-Netzwerk – Technische Möglichkeiten und rechtliche Rahmenbedingungen“. In: *Selbstbestimmung, Privatheit und Datenschutz : Gestaltungsoptionen für einen europäischen Weg*. Hrsg. von Michael Friedewald, Michael Kreutzer und Marit Hansen. Wiesbaden: Springer Fachmedien Wiesbaden, 2022, S. 153. ISBN: 978-3-658-33306-5. DOI: 10.1007/978-3-658-33306-5\_8. URL: [https://doi.org/10.1007/978-3-658-33306-5\\_8](https://doi.org/10.1007/978-3-658-33306-5_8).

Quellcode: <https://github.com/sshcrack/enkrypton>

Die Bestimmungen zur Seminararbeit am Windthorst-Gymnasium Meppen habe ich zur Kenntnis genommen.

Ich versichere, dass ich die vorgelegte Arbeit selbstständig und ohne fremde Hilfe angefertigt und alle benötigten Hilfsmittel und Quellen ordnungsgemäß angegeben und gekennzeichnet habe.

Der Veröffentlichung der nicht korrigierten Fassung der Facharbeit in der Mediathek des Windthorst-Gymnasiums

stimme ich ☐ zustimme ich nicht zu ☐

---

Ort

---

Datum

---

Unterschrift Verfasser/in